

The Crystal Structure of the Compound $\text{Cs}_3\text{Mg}_2\text{Cl}_7$

**A.A. Al-Aql, Z.H. Dugaish, A. Al-Jufali,
K.M. Al-Sheibani, E.M.A. Hameida and A. Flimban**

*Department of Physics, College of Science, King Saud University,
P.O. Box 2455, Riyadh 11451, Saudi Arabia*

ABSTRACT. The crystal structure of the compound $\text{Cs}_3\text{Mg}_2\text{Cl}_7$ is studied and found to consist of layers of distinct double perovskite type formed parallel to the plane (001) and the following layers are displaced by $\frac{a}{\sqrt{2}}$ in the direction [110].

The compound is tetragonal of the space group I4/mmm and the lattice parameters are:

$$a = 0.505(1) \text{ nm}$$

$$c = 2.630(5) \text{ nm}$$

The experimental density, $D_m = 3.40 \text{ g cm}^{-3}$ and the theoretical density $D_x = 3.45 \text{ g cm}^{-3}$. The number of molecules per unit cell $Z = 2$ and the reliability factor $R_w = 5.8\%$.

The Mg^{++} , $\text{Cs}^+(1)$ and $\text{Cs}^+(2)$ lie in different layers perpendicular to c - axis with $Z = 0$ for $\text{Cs}^+(2)$, $Z = 0.1899(6)$ for $\text{Cs}^+(1)$ and $Z = 0.4021(8)$ for Mg^{++} . The Mg^{++} is surrounded approximately octahedrally by six chlorine ions, while $\text{Cs}^+(1)$ by nine chlorine ions and $\text{Cs}^+(2)$ by twelve chlorine ions.

References

- Bond, W.L.** (1959) Equi-inclination Weissenberg Intensity Correction Factors for Absorption in Spheres and Cylinders, and for Crystal Monochromatized Radiation, *Acta Cryst.* **12**: 375-381.
- Goodyear, J. and Ali, E.M.** (1982) Structure of Trirubidium Heptabromodimanganate *Acta Cryst.* **38**(B): 600-602.
- International Tables for X-ray Crystallography** (1962) Birmingham Kynoc Press: **3**: 162-169.
- International Tables for X-ray Crystallography** (1974) Birmingham Kynoc Press: **3**: 201-207.
- Main, P. and Woolfson, M.M.** (1963) Accurate Lattice Parameters from Weissenberg Photographs, *Acta Cryst.* **16**: 731-733.
- Ruddleston, S.N. and Propper, P.** (1958) The Compound $Sr_3Ti_2O_7$ and its Structure, *Acta Cryst.* **11**: 54-55.
- Seifert, Von, H.J. and Koknat, F.W.** (1968) Neue Alkalichlorocadmate (II) in den Systemen $CsCl/CdCl_2$, und $RbCl/CdCl_2$, *Zeit. für Anorg. Allg. Chemie.* **357**: 314-324.

(Received 24/10/1992;
in revised form 25/07/1995)

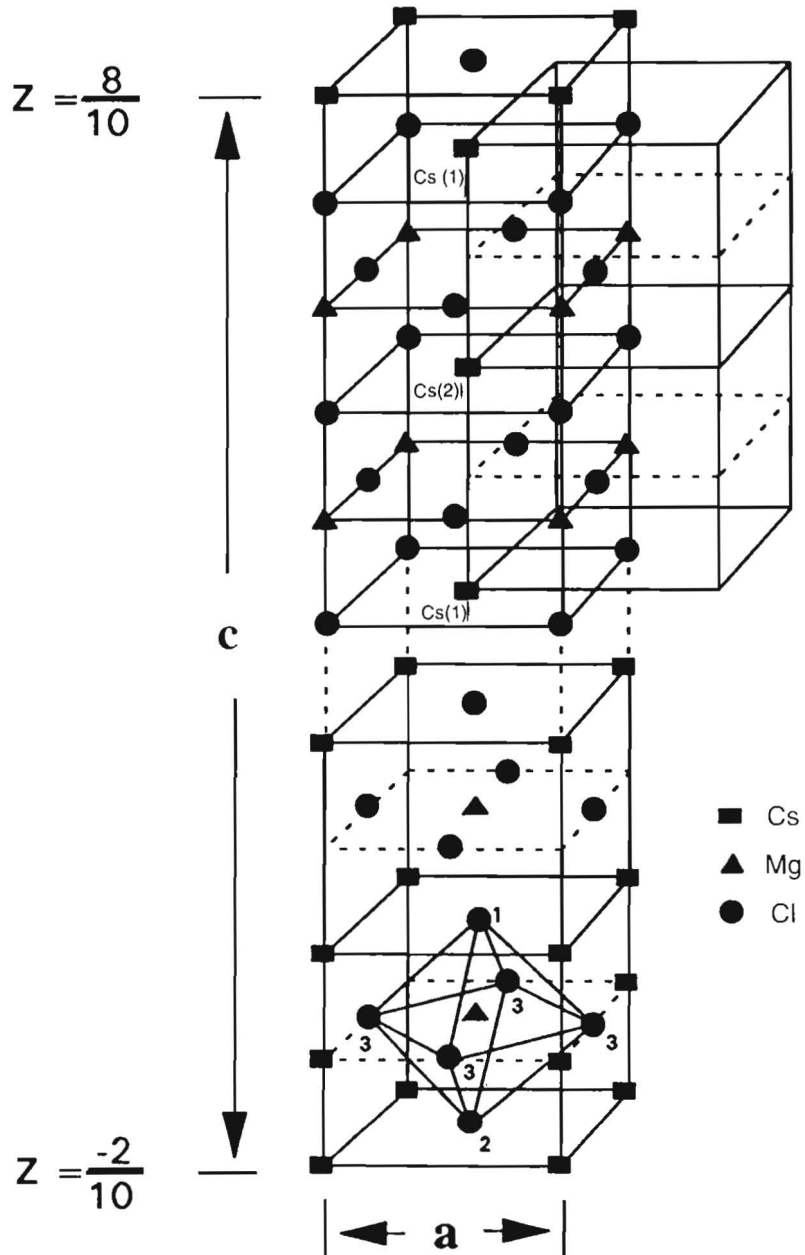
شكر وتقدير

يود المؤلفون تقديم شكرهم الجزيل إلى السادة المحكمين الأفاضل على ما
بذلوه من جهد وإلى السيد حسن سالم العماري على مساعدته في رسم التركيب
البلوري للمركب بالحاسوب .

تقع أيونات المغنيسيوم Mg^{+} في مركز خلايا الوحدة البروفسكاتية وهي أيضاً مرتبة في شكل ثماني أسطح بواسطة أيونات الكلور Cl^{-} .
 أما التشويف في ثماني الأسطوح $MgCl_6$ فيرجع أساساً إلى التناقض المتبادل خلال الاتجاه [001] لأيونات المغنيسيوم المجاورة في طبقات البروفسكاتيت المزدوجة ولهذا السبب فإن الزاوية $(Cl(1)-Mg-Cl(2))$ أقل من 90° . بينما الزاوية $(Cl(3)-Cl(2)-Mg)$ أكبر من 90° . أما الزاوية $(Cl(3)-Mg-Cl(1))$ فهي قريبة جداً من 90° .

الجدول ٤ . أطوال الروابط بوحدات (nm) .

| $Mg^{+}-Cl^{-}$ | Octahedron | Multiplicity | Ion | Location of atoms |
|-----------------------|------------|--------------|---------|---------------------|
| $Mg-Cl(1)$ | 0.2575(23) | 1 | Mg | $1/2 \ 1/2 \ 1/2-Z$ |
| $Mg-Cl(2)$ | 0.2446(26) | 1 | $Cl(1)$ | $1/2 \ 1/2 \ 0$ |
| $Mg-Cl(3)$ | 0.2526(5) | 4 | $Cl(2)$ | $0 \ 0 \ Z$ |
| $Cl(1)-Cl(3)$ | 0.3650(9) | 4 | $Cl(2)$ | $1/2 \ 1/2 \ 1/2-Z$ |
| $Cl(2)-Cl(3)$ | 0.3474(13) | 4 | $Cl(3)$ | $0 \ 1/2 \ Z$ |
| $Cl(3)-Cl(3)$ | 0.3571(7) | 4 | $Cl(3)$ | $1/2 \ 0 \ Z$ |
| | | | | |
| $Cs - Cl$ distance | | | $Cs(1)$ | $0 \ 0 \ Z$ |
| | | | $Cs(2)$ | $0 \ 0 \ 0$ |
| $Cs(1)-Cl(1)$ | 0.3135(22) | 1 | | |
| $Cs(1)-Cl(2)$ | 0.3571(7) | 4 | | |
| $Cs(1)-Cl(3)$ | 0.3456(14) | 4 | | |
| $Cs(2)-Cl(1)$ | 0.3571(7) | 4 | | |
| $Cs(2)-Cl(3)$ | 0.3659(9) | 8 | | |



الشكل ٢ . محتويات خلية وحدة واحدة لتركيب $\text{Cs}_3\text{Mg}_2\text{Cl}_7$ ، توضح الخطوط المستمرة خلايا الوحدة من نوع بروفسكايت .

يوضح الجدول (٣) قيم الحدود الوضعية والنهاية للمركب $\text{Cs}_3\text{Mg}_2\text{Cl}_7$.

الجدول ٣ . قيم الحدود الوضعية والنهاية للمركب $\text{Cs}_3\text{Mg}_2\text{Cl}_7$

| | Equivalent Position | X | Y | Z | B(Å) ² |
|-------|---------------------|---|-----|-----------|-------------------|
| Mg | 4(e) | 0 | 0 | 0.4021(8) | 2.0 |
| Cs(1) | 4(e) | 0 | 0 | 0.1899(6) | 2.0 |
| Cs(2) | 2(a) | 0 | 0 | 0 | 2.0 |
| Cl(1) | 2(b) | 0 | 0 | 1/2 | 2.0 |
| Cl(2) | 4(e) | 0 | 0 | 0.3091(5) | 2.0 |
| Cl(3) | 8(g) | 0 | 1/2 | 0.1002(4) | 2.0 |

*(Origin at center 4/mmm). Standard deviation in parentheses

المناقشة

يرتبط تركيب المركب $\text{Cs}_3\text{Mg}_2\text{Cl}_7$ بالتركيب البروفسكاتي بطريقة بسيطة فالرغم أنه خلية الوحدة ذات التركيب من النوع البروفسكاتي التركيب CsMgCl_3 إلا أنه لشريحة أحادية سماكها خليتا وحدة من النوع البروفسكاتي لها تركيب كيميائي $\text{Cs}_3\text{Mg}_2\text{Cl}_7$. والتركيب البلوري لهذا المركب يمكن اعتباره بأنه يتكون من تلك الشرائج المكونة من خليتا وحدة والعمودية على المحور c . والشرائج المتعاقبة تم إزاحتها مسافة $2 \sqrt{a}$ في الإتجاه [110] كما يوضحه الشكل (٢) معطية نسبة مثالية قدرها ٥:١.

تقع أيونات السيزيوم (2) Cs^+ في وسط الطبقات فيكون كل أيون محاطاً باثنى عشر أيوناً من الكلور Cl^- بينما تكون أيونات السيزيوم (1) $\text{Cs}^+(1)$ موضوعة على أسطح الشرائج ولها الترتيب العادي وهو تسعه أيونات كلور. إن المسافة $[\text{Cs}(2) - \text{Cl}]$ أكثر تجانساً من المسافات بين $[\text{Cl} - \text{Cs}(1)]$ وهذا يمكن إيعازه لطبيعة عدم التماثل لمجموعة الترتيب حول $\text{Cs}(1)$.

قيست شدات كل إنعكاس بشكل منظور من خلال تعریض لوح التصوير لزمن دقيق جداً . ووجدنا أن الغياب المنظم للإنعكاسات $h+k+l=2n+1$ متطابق مع مجموعة الفراغ $\text{Sr}_3\text{Ti}_2\text{O}_7$ للمركب $\text{I}4/\text{mmm}$.

ولقد تم تصحيح البيانات المقاسة لمعامل التصحيح المعطى من قبل Bond (1959) للبللورة الأسطوانية .

وتم حساب معامل الإمتصاص الخطي المستخدم في برنامج تصحيح الإمتصاص وذلك من معاملات الإمتصاصات الكتالية للعناصر الأصلية المأخوذة من الجداول الدولية (1962) . (International Tables for X-ray Crystallography)

كما تم حساب قيمة معامل الإمتصاص وتساوي 0.73 cm^{-1} .

التحليل التركيبي

ابتداءً افترضنا أن لكل ذرة أبعاداً وضعيّة مثالية ومعامل درجة فردية ذاتية B_{iso} تساوي 2.0 \AA^2 . بعد عدة دورات من تكرار أقل التربيعات least squares انخفض معامل الوثوق : $|F_0| - |F_c| = |F_w|$ إلى 5.8% وكانت الانتقالات في الأبعاد الذرية جميعها في هذه المرحلة أقل $1/7$ من الإنحراف المعياري .

أما جميع معاملات التركيب المحسوبة للإنعكاسات غير المقاسة فإنها أقل من القيمة الصغرى المقاسة وقد تم الحصول على معاملات التشتت الذري لأيونات السيزيوم Cs^+ والمغنيسيوم Mg^{++} والكلور Cl^- من الجداول الدولية (1974) وذلك لأجل حساب معامل التركيب . وقد تم وضع برنامج للحاسوب الآلي (الحاسوب) لهذا الغرض .

يعطى الجدول (١) المعلومات عن خلية الوحدة للمركب ومقارنتها مع المعلومات للمركبات الشبيهة التي تحتوي على Sr Ti O , Rb Cd Cl , Rb Mn Br . الكثافة التجريبية D_m للعينة تم تعينها عن طريق وزن العينة بسرعة في الهواء ثم وزنها في تولوين ، وبافتراض صيغتين جزيئتين للمركب لكل خلية وحدة ، حصلنا على توافق بين قيمة الكثافة المحسوبة والمقاسة . والجدول (٢) يوضح البيانات الكاملة للبلوررة .

الجدول ١ . أبعاد خلية الوحدة لبعض المركبات

| Species | a(nm) | c(nm) | References |
|-------------------------------------|----------|----------|-------------------------------|
| $\text{Cs}_3\text{Mg}_2\text{Cl}_7$ | 0.505(1) | 2.630(5) | Our Data |
| $\text{Rb}_3\text{Mn}_2\text{Cl}_7$ | 0.537 | 2.780 | Goodyear and Ali (1982) |
| $\text{Rb}_3\text{Cd}_2\text{Cl}_7$ | 0.5194 | 2.635 | Seifert and Koknat (1968) |
| $\text{Sr}_3\text{Ti}_2\text{O}_7$ | 0.390 | 2.038 | Ruddleston and Propper (1958) |

الجدول ٢ . البيانات الكاملة للبلوررة $\text{Cs}_3\text{Mg}_2\text{Cl}_7$

| F.W | Type | a(nm) | c(nm) | D_m g cm ⁻³ | D_x g cm ⁻³ | Z | μ (cm ⁻¹) | λ (nm) |
|--------|-----------------|-------|-------|-----------------------------|-----------------------------|---|---------------------------|----------------|
| 695.51 | Tetragonal Cell | 0.505 | 2.63 | 3.4 | 3.45 | 2 | 0.73 | 0.07107 |

تحصيل بيانات الشدة

تم الحصول على بيانات الشدة من الطبقات 4-0 لصور فيزنبرج للمحور a ذات الميل المتساوي وذلك بإستخدام إشعاع MoK_{α} .

حرارة العينة ببطء إلى درجة حرارة 120 °C حيث تم تثبيتها إلى أن تم التخلص من جميع ماء التبلور في المركبين وبعد ذلك تم رفع درجة الحرارة حتى ذاب المركبان ، وعندها تم إغلاق الأنبوبة عند الإلتواء ونقلت إلى درجة حرارة الغرفة .

ومن المهم أن نوضح هنا أن تفريغ الأنبوبة المحتوية للمركب يعمل على حفظ الباللورات لمدة غير محدودة .

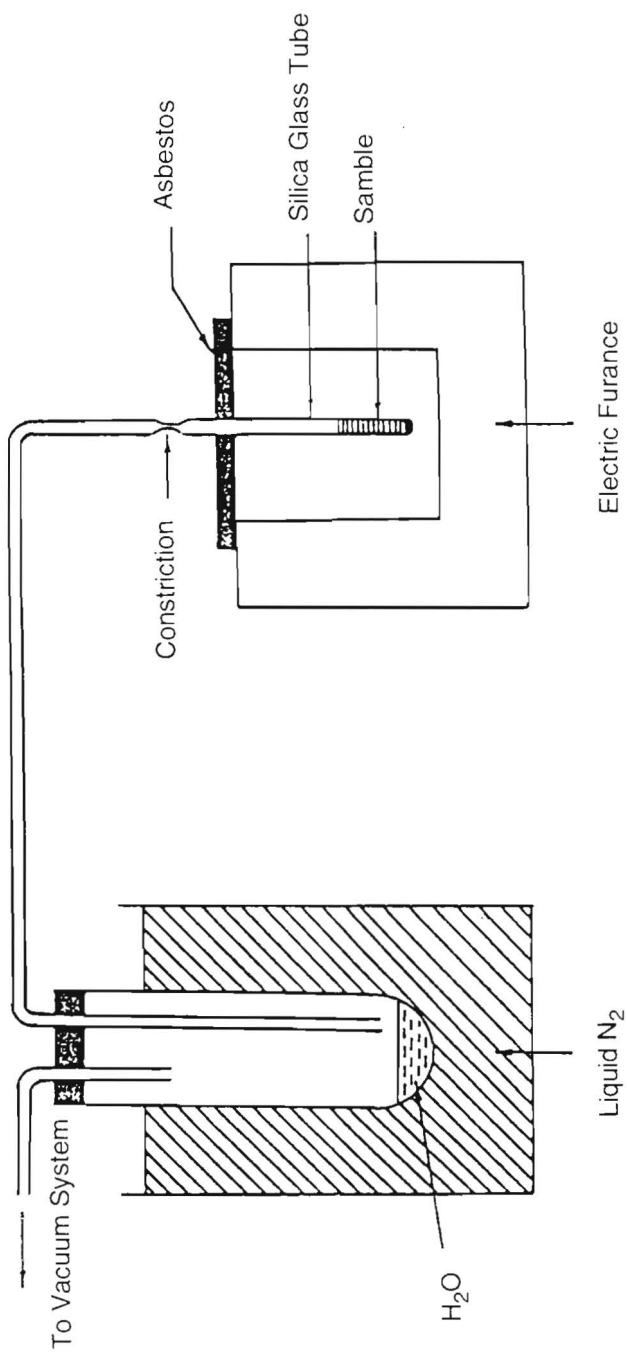
ونظرًا لشراهة المركب لإمتصاص بخار الماء فقد تم اختيار الباللورات أحاديه مناسبة للفحص بالأشعة السينية وذلك في سيل من النيتروجين الجاف ووضعت في أنابيب شعرية تحتوي على خامس أكسيد الفوسفور P_2O_5 مغلقة عند كلا الطرفين بواسطة شمع أسود .

ولقد تم اختيار الباللورات من عينة مسحوقه متتماسكة وذلك باستخدام مجهر استقطاب ذو طاقة منخفضة (X35) ، إن الباللورة المناسبة لتحقيق المتطلبات لتلك القياسات لها الخاصية الآتية : عند وضعها في حقل المجهر ودورانها بين المستقطبين المتقطعين أثناء إشعاعها بضوء أبيض متوازي يظهر انطفاء تام على الباللورة بالكامل عند وضع معين ، ويعاد الإنطفاء عند دورانها كل 90° .

ولتخفيض امتصاص الأشعة السينية الساقطة وللتتمكن من إجراء التصحيح المناسب عليها يجب أن تكون الباللورات صغيرة ذات شكل أسطواني . ومن الناحية العملية فلقد اختيرت باللورة بأبعاد $mm^3 (0.135 \times 0.135 \times 0.27)$ لتحصيل بيانات الشدة .

تعيين أبعاد خلية الوحدة

دلت الصور المأخوذة بطريقة فيزنبرج وطريقة الباللورة الدوارة حول المحور a على وجود خلية وحدة رباعية الأضلاع وتم تعين أبعاد خلية الوحدة من الإنصال $a1-a2$ على صورة فيزنبرج ذات طبقة صغيرة بإستخدام طريقة (Main and Woolfson 1963)



الشكل ١ . الأجهزة المستخدمة لتحضير البللورات .

الفراغية له $I4/mmm$ يمكن اعتبار تركيبها البلوري تركيباً وسيطاً بين المركب (بيروفسكait) $SrTiO_3$ والمركب Sr_2TiO_4 الذي له تركيب المركب $[K_2NiF_4]$. وللمركب $Sr_3Ti_2O_7$ أبعاد خلية الوحدة التالية $\text{Å} = 2.083$ و $a = 0.390 \text{ Å}$ والنسبة المحورية $c/a = 1.5$ تقريباً كما هي الحال في المركب محور البحث $Cs_3Mg_2Cl_7$.

وإذا أضفنا إلى ما سبق حقيقة أنه يوجد جزيئان ($Z = 2$) لكل خلية وحدة في المركبين المذكورين فإنه يتضح أن هذين المركبين متطابقان تماماً . ولقد افترضنا هذا التطابق منذ البداية وأثبتت معاجلتنا الواردة أدناه لهذا المركب صدق هذا الافتراض .

تحضير المركب

يمتاز هذا المركب بشراثته لامتصاص بخار الماء لذا يجب تحضيره عن طريق السماح للمركبين كلوريد السيزيوم $CsCl$ وكلوريد المغنيسيوم $MgCl_2$ بأن يتفاعلا داخل أنبوبة من السليكا مفرغة ومحكمة الإغلاق . ويتم تخزين المركب الناتج عن التفاعل في جو خال من الرطوبة بعد نقله من أنبوبة السليكا . ويوضح الشكل (١) الأجهزة المستخدمة لتحضير المركب حيث تم توصيلها إلى مضخة تفريغ وذلك لتفریغ النظام من الهواء .

وضعت كميات مناسبة من كلوريد السيزيوم $CsCl$ (2.5 gm) وكلوريد المغنيسيوم $MgCl_2 \cdot 6H_2O$ (0.94 gm) في أنبوبة السليكا حجمها بحدود 30 cm^3 يوجد إلتواء في عنق الأنبوبة وذلك لتسهيل عملية إقفال الأنبوبة في مرحلة لاحقة ولمنع إمتصاص المواد الصلبة بواسطة البخار البارد بالنيتروجين الذي يعتبر جزء منه نظام التحضير . وبالإضافة إلى ما سبق فإنه تم تفريغ الأنبوبة إلى ضغط يبلغ حوالي 10^{-5} torr وذلك لمنع تكون الأكسيد والأكسيد المائية . رفعت درجة

التركيب البلوري للمركب $\text{Cs}_3\text{Mg}_2\text{Cl}_7$

عبد الرحمن علي العقل و زياد حسين دغيش و عبد الله الجفالى
و خضر محمد الشيبانى و الحافظ محمد علي حميدة و عبد الرحمن فلمبان

قسم الفيزياء - كلية العلوم - جامعة الملك سعود
ص. ب. (٢٤٥٥) - الرياض ١١٤٥١ - المملكة العربية السعودية

الملخص : وجد أن المركب $\text{Cs}_3\text{Mg}_2\text{Cl}_7$ رباعي قائم وله المجموعة الفراغية 14/mmm والأبعاد البلورية (5) Å, $c = 2.630$ Å, $a = 0.505$ Å وكثافته التجريبية $D_x = 3.45 \text{ g cm}^{-3}$ وكثافته النظرية $D_m = 3.40 \text{ g cm}^{-3}$ وعدد الجزيئات في وحدة الخلية ($Z=2$) ومعامل الوثوق R_{w} يساوي 5.8%.

التركيب البلوري لهذا المركب عبارة عن طبقات من النوع البيروفسكايت المزدوجة المميزة والمجمعة بشكل مواز للمستوى (001) وطبقات أخرى متعرجة مزاحة بقدار $\sqrt{2}a/\sqrt{3}$ في الاتجاه [110]. أما أيونات المغنيسيوم Mg^{++} والسيزيوم (2) $\text{Cs}^{+}(1)$ $\text{Cs}^{+}(2)$ فإنها تقع ضمن تلك الطبقات وعمودية على المور c بحيث أن $Z=0$ للأيون (2) $\text{Cs}^{+}(2)$ ، $Z=0.1899$ للأيون (1) $\text{Cs}^{+}(1)$ و $Z=0.4021$ للأيون Mg^{++} إن كل أيون Mg^{++} منسق كمانياً أسطح بواسطة ستة أيونات كلور وكل أيون سيزيوم (2) $\text{Cs}^{+}(2)$ يتصل مع اثنى عشر أيون كلور . وكل أيون سيزيوم (1) $\text{Cs}^{+}(1)$ منسق بواسطة تسعة أيونات كلور وترتبط أيونات الكلور الواقعة في السطح لطبقة معينة بأيونات السيزيوم (1) $\text{Cs}^{+}(1)$ الواقعة في السطح لطبقة المقابلة . ونخلص أيضاً في هذا البحث إلى أن التركيب متطابق تماماً مع تركيب المركب $\text{Sr}_3\text{Ti}_2\text{O}_7$.

أفادت البحوث السابقة بأن عدة هاليدات معقدة التركيب مثل $\text{A}_3\text{B}_2\text{X}_7$ والتي لها التركيب البلوري المشابه لتركيز $\text{Sr}_3\text{Ti}_2\text{O}_7$ ذي الشكل الرباعي والمجموعة